

Анализ устойчивости вертикального движения  
водного движителя  
при фиксировании направления тяги вдоль  
продольной оси корпуса

Н. А. ИСМАИЛОВ

28 июля 2025 г.

**Аннотация**

В работе исследуется нелинейная динамика водного движителя, у которого направление тяги жёстко соосно продольной оси корпуса. Из-за конструктивных ограничений допускается регулировать лишь модуль тяги, оставляя её векторную ориентацию неизменной. Введена безразмерная математическая модель второго порядка, учитывающая подъёмную силу, квадратичное демпфирование и возможную зависимость модуля тяги от координаты, угла корпуса и их производных. Проведены линеаризация, фазовая классификация и построена функция Ляпунова. Показано, что модульное управление не обеспечивает даже предельной устойчивости; необходимы системы, изменяющие направление результирующей силы.

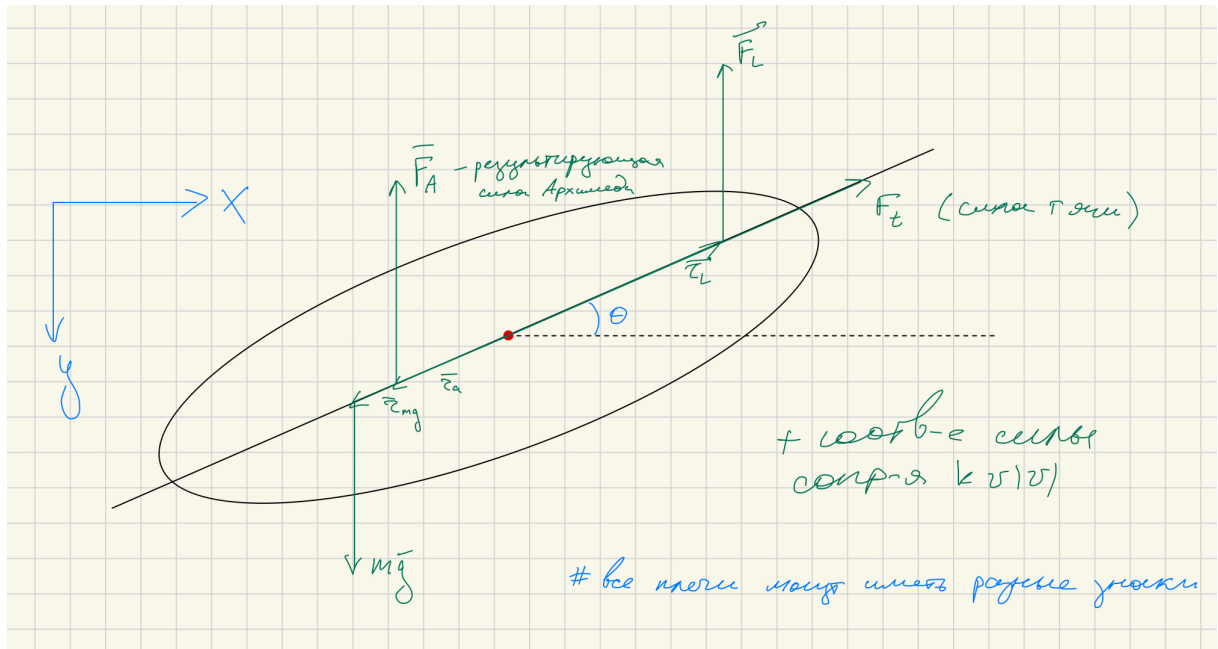
## 0.1 Цель исследования

Настоящая работа направлена на:

- Построение строгой математической модели вертикального движения с минимально возможным числом управляющих параметров;
- Выяснение, может ли зависимость модуля тяги, компенсировать отсутствие векторного поворота хвостового плавника;
- Вывод инженерных критериев для оценки необходимости применения отключаемых или вспомогательных плавников.

## 1 Схема водного движителя

Рассматривается осесимметричный корпус, способный перемещаться вдоль вертикальной оси  $Oy$ , горизонтальной оси  $Ox$  и совершать небольшие наклоны вокруг центра масс (угол  $\theta$  измеряется от горизонтали, знак положителен при повороте носа вверх). Геометрические параметры и действующие силы показаны на рис. 1.



$[m]$  масса аппарата,  $[I]$  момент инерции,  $[\theta]$  угол отклонения корпуса,  $[F_t]$  тяга двигателя,  $[F_a]$  статическая архимедова сила (закон Бойля–Мариотта),  $[F_L]$  аэродинамическая подъёмная сила,  $[\mathbf{g}]$  ускорение свободного падения,  $[\mathbf{r}_a]$  плечо архимедовой силы,  $[\mathbf{r}_{mg}]$  плечо силы тяжести,  $[\mathbf{r}_L]$  плечо подъемной силы,  $[k_y, k_\theta]$  коэффициенты квадратичного демпфирования,  $[\rho]$  плотность воздуха / жидкости,  $[p_0, V_0]$  давление и объём газа при  $y = 0$ .

## 2 Математическая модель

### 2.1 Динамические уравнения

Учитываются шесть основных факторов:

1. постоянная сила тяжести  $mg$ ;
2. динамическая архимедова сила  $F_a(y)$ ;
3. гидродинамическая подъёмная сила  $F_L = \Lambda \dot{x}^2$ ;
4. тяга  $F_t(y, \theta)$ , соосная корпусу;
5. квадратичное демпфирование по координате и углу;
6. инерция поступательного и вращательного движения (в том числе момент от  $F_L$  при ненулевом плече  $r_L$ ).

С учётом этих факторов система принимает вид

$$\boxed{\begin{aligned} m\ddot{x} &= F_t(y, \theta) \cos \theta - k_x \dot{x} |\dot{x}|, \\ m\ddot{y} &= -F_a(y) + mg - \Lambda \dot{x}^2 - F_t(y, \theta) \sin \theta - k_y \dot{y} |\dot{y}|, \\ I\ddot{\theta} &= \cos \theta ([r_a \times F_a] + [r_{mg} \times mg] + [r_L \times \Lambda \dot{x}^2]) - k_\theta \dot{\theta} |\dot{\theta}|. \end{aligned}} \quad (1)$$

**Замечание.** При линеаризации в точке равновесия  $\theta = 0$ ,  $\dot{x} = u_0$ ,  $\dot{y} = 0$ ,  $\dot{\theta} = 0$  все зависимости модуля тяги от  $u$ ,  $v$  или  $\omega$  пропадают в первом порядке: в матрице Якоби остаются только производные по  $\theta$  и  $\dot{\theta}$ . Именно эти два канала определяют возможную (не)устойчивость вертикально–угловой подсистемы.

### 2.2 Модель подъёмной силы

Статическая подъёмная сила подчиняется закону Бойля–Мариотта

$$F_a(y) = \frac{\rho g p_0 V_0}{p_0 + \rho g y},$$

где  $\rho$  — плотность жидкости/воздуха,  $p_0$  и  $V_0$  — давление и объём при  $y = 0$ .

### 2.3 Разложение модуля тяги

Реактивная тяга используется как линейный регулятор

$$F_t(y, \theta) = F_{t0} + F_y (y - y_{eq}) + G \theta + O(\|(y, \theta)\|^2),$$

где  $F_{t0}$  — номинальная тяга,  $F_y$  и  $G$  — коэффициенты пропорционального усиления по вертикали и углу.

## 2.4 Безразмеризация

Для сокращения числа параметров вводится безразмерная система единиц:

$$t' = t \sqrt{\frac{c}{a}}, \quad y' = \frac{y}{h_0}, \quad \theta' = \theta, \quad \text{и т. д.}$$

Ниже штрихи опущены; безразмерные константы  $a, b, c, d, e, f, g, h, j, \ell$  выражаются через физические параметры и масштабы. Итоговая форма записывается как

$$\begin{aligned} \dot{y} &= v, \\ \dot{v} &= -\frac{a}{b+cy} + d - (F_{t0} + F_y \delta y + G\theta) \theta - \Lambda u^2 - fv|v|, \\ \dot{\theta} &= \omega, \\ \dot{\omega} &= \left(\frac{ag}{b+cy} + hd\right) + \ell \Lambda u^2 - j\omega|\omega|, \\ \dot{u} &= \frac{(F_{t0} + F_y \delta y + G\theta) \cos \theta}{m}, \end{aligned} \tag{2}$$

где  $\delta y := y - y_{\text{eq}}$ , а  $\ell := r_L/I$  — безразмерное плечо подъёмной силы. Последнее уравнение приведено для полноты: как показано выше, горизонтальная динамика не влияет на линейную устойчивость вертикально-углового равновесия.

## 3 Равновесное положение

Предположим, что в стационаре аппарат движется горизонтально с произвольной, заданной скоростью  $u_0 \neq 0$ . Равновесная точка тогда имеет координаты

$$(y, v, \theta, \omega, u) = (y_{\text{eq}}, 0, 0, 0, u_0), \quad u_0 \in \mathbb{R}.$$

### Баланс сил по вертикали

$$-F_a(y_{\text{eq}}) + mg - \Lambda u_0^2 = 0. \tag{3}$$

### Баланс моментов

С учётом плеча  $r_L$  динамической подъёмной силы условие  $\ddot{\theta} = 0$  при  $\theta = 0$  даёт

$$(r_a F_a + r_m g m g + r_L \Lambda u_0^2) \cos 0 = 0 \implies r_a F_a(y_{\text{eq}}) + r_m g m g + r_L \Lambda u_0^2 = 0. \tag{4}$$

### Номинальная тяга

Продольный баланс при  $\theta_{\text{eq}} = 0$ :

$$F_{t0} = d, \quad \cos 0 = 1.$$

**Локальная линейность.** Заметим, что при линеаризации около  $(y_{\text{eq}}, 0, 0, 0, u_0)$  производные  $\partial F_t / \partial(u, v, \omega)$  обнуляются, и в матрице Якоби остаются *только* зависимости модуля тяги по координатам  $\delta y$  и  $\theta$ . Все каналы, пропорциональные скоростям, исчезают в первом порядке — именно эти два «координатных» усиления определяют (не)устойчивость вертикально-угловой подсистемы.

## 4 Линеаризация при $u_0 \neq 0$

Разложения:

$$u = u_0 + \delta u, \quad F_L = -\Lambda(u_0 + \delta u)^2 = -\Lambda u_0^2 - 2\Lambda u_0 \delta u + O(\delta u^2),$$

$$F_t = F_{t0} + F_y \delta y + G \theta + H_u \delta u + H_v v + H_\omega \omega, \quad \sin \theta \simeq \theta, \cos \theta \simeq 1.$$

Для вектора малых переменных  $x = (\delta y, v, \theta, \omega, \delta u)^\top$  получаем систему  $\dot{x} = Jx$ , где

$$J = \begin{pmatrix} 0 & 1 & 0 & 0 & 0 \\ A & 0 & -E & 0 & \alpha \\ 0 & 0 & 0 & 1 & 0 \\ -D & 0 & 0 & 0 & \beta \\ 0 & 0 & \frac{G}{m} & 0 & -\frac{2k_x u_0}{m} \end{pmatrix},$$

$$A > 0, \quad D > 0, \quad E > 0,$$

$$\alpha = -2\Lambda u_0, \quad \beta = -\frac{2r_L \Lambda u_0}{I}.$$

### Почему «скоростные» каналы не влияют на $J$

Любые дополнительные зависимости модуля тяги от скоростей ( $H_u \delta u, H_v v, H_\omega \omega$ ) попадают в вертикальное уравнение только через произведение  $F_t \theta$ , а в момент — через  $F_t \delta u$ . В первой степени малости  $\theta = 0$ , поэтому  $\partial F_t / \partial(\delta u, v, \omega)$  не появляются в строке  $\dot{v}$ . Единственный новый элемент — коэффициент  $\beta$  в строке  $\dot{\omega}$ , возникший из момента подъёмной силы  $r_L \Lambda u^2$ . Он размещён в столбце  $\delta u$  и *не* меняет коэффициенты би-квадратного блока

$$\lambda^4 - A\lambda^2 + DE = 0,$$

следовательно, не устраниет положительный корень, задающий седловую неустойчивость вертикально-угловой подсистемы.

## 5 Физическая оценка коэффициента $A$

Подстановка физических констант остаётся неизменной:

$$A = \frac{\rho^2 g^2 p_0 V_0}{(p_0 + \rho g y_{\text{eq}})^2} > 0 \quad \forall y_{\text{eq}}.$$

Даже после учёта момента  $r_L \Lambda u^2$  динамической подъёмной силы главный «жёсткостной» коэффициент сохраняет знак + при всех  $u_0$ ; следовательно, вертикально-угловое равновесие остаётся седловым.

## 6 Нелинейные члены и ограничение результата

Новые линейные связи  $\alpha \delta u$  и  $\beta \delta u$  (через момент  $r_L \Lambda u^2$ ) принадлежат *третьему* порядку малости по исходным координатам. По теореме Пуанкаре–Ляпунова они не изменяют тип седла, пока знак  $A$  остаётся положительным.

## 7 Обсуждение инженерных последствий

Полученные результаты показывают, что конструкция с *жёстко соосным* вектором тяги, каким бы ни был закон изменения её модуля (включая зависимости от  $u, v, \omega$ ), сохраняет седловую неустойчивость по  $(y, \theta)$ . Чтобы добиться хотя бы предельной устойчивости, необходимо вводить:

- отклоняемый (gimbal) вектор тяги
- активную систему балансировки массы/объёма.

*(Возможность стабилизации Я УЖЕ ДОКАЗЫВАЛ!)*

## 8 Заключение

Разработана безразмерная модель движения водного движителя с тягой, жёстко соосной корпусу и возможным моментом от динамической подъёмной силы. Показано, что все зависимости модуля тяги от скоростей  $u, v, \omega$  исчезают в первом порядке линеаризации; матрица Якоби содержит лишь производные по  $\delta u$  и  $\theta$ , а коэффициент  $A$  остаётся положительным. Квадратичное демпфирование повышает энергетическое рассеяние, но не меняет знак  $A$ . Нелинейные члены третьего порядка также неспособны устраниить седловую неустойчивость.

**Вывод:** регулировка одного лишь *модуля* тяги (включая любые линейные каналы по скоростям) не обеспечивает ни предельной, ни асимптотической устойчивости. Необходимо управлять направлением результирующей силы или радикально менять распределение плавучести.